

Fig. 1(a)

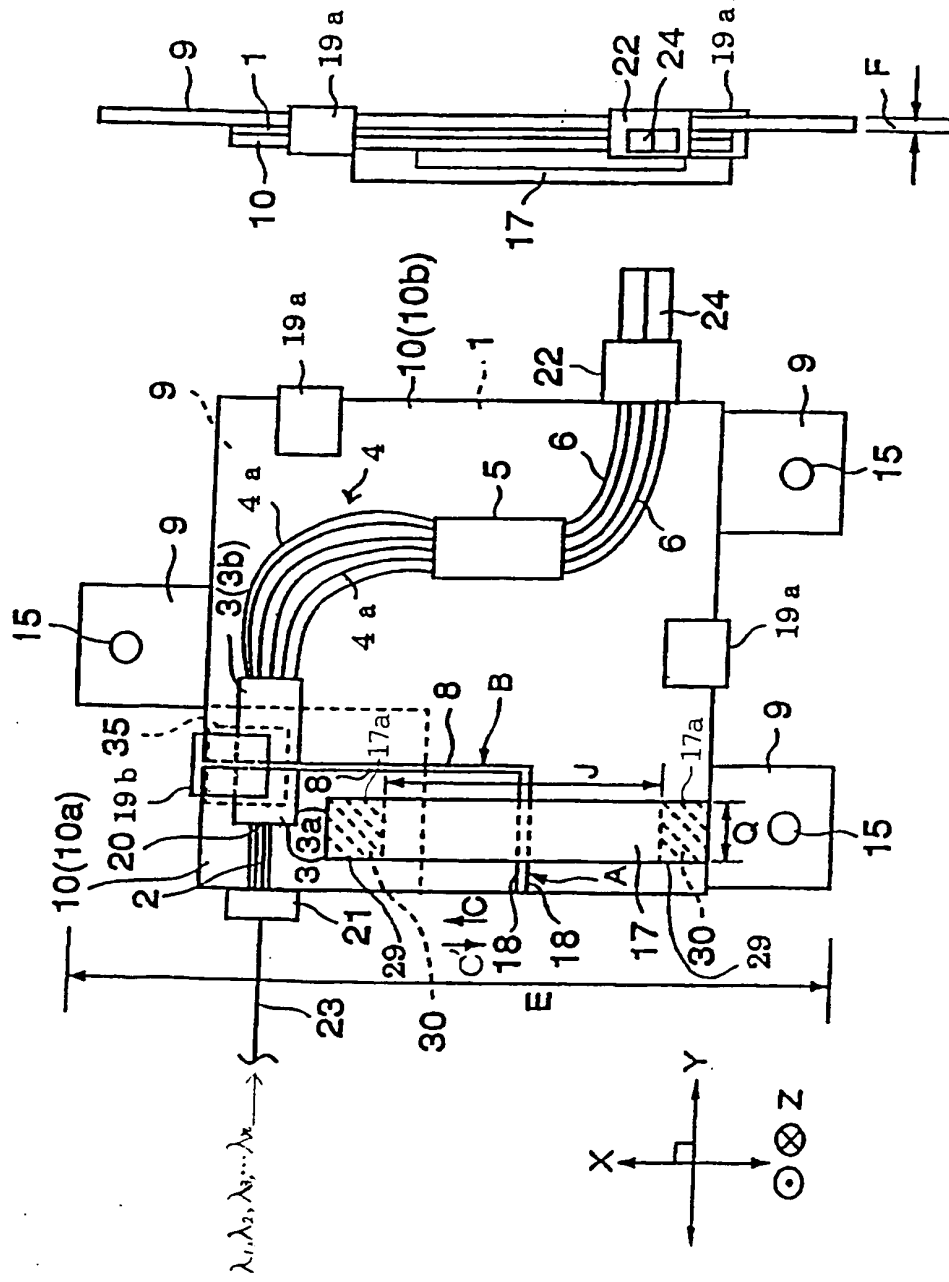


Fig. 1(b)

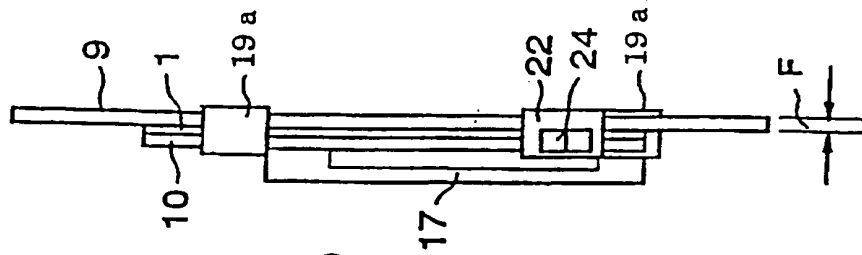


Fig. 2(a)

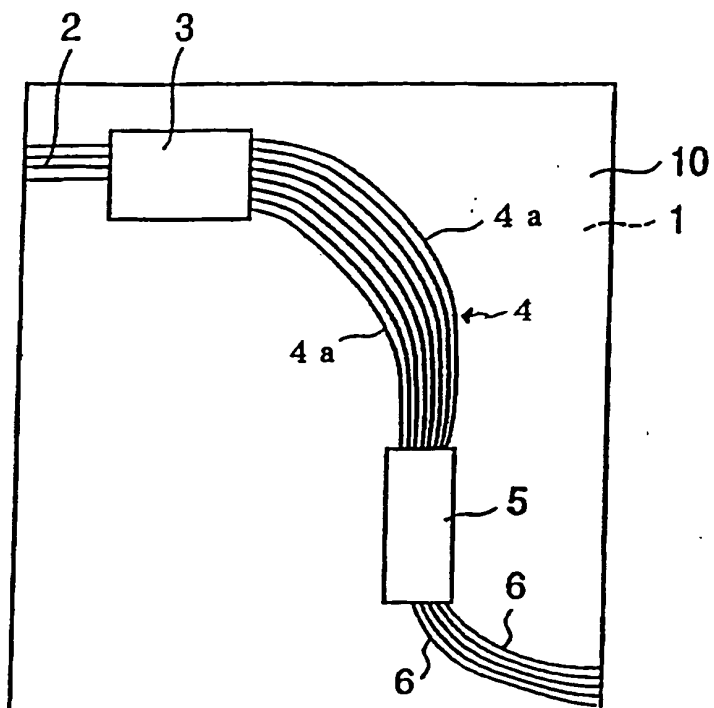


Fig. 2(b)

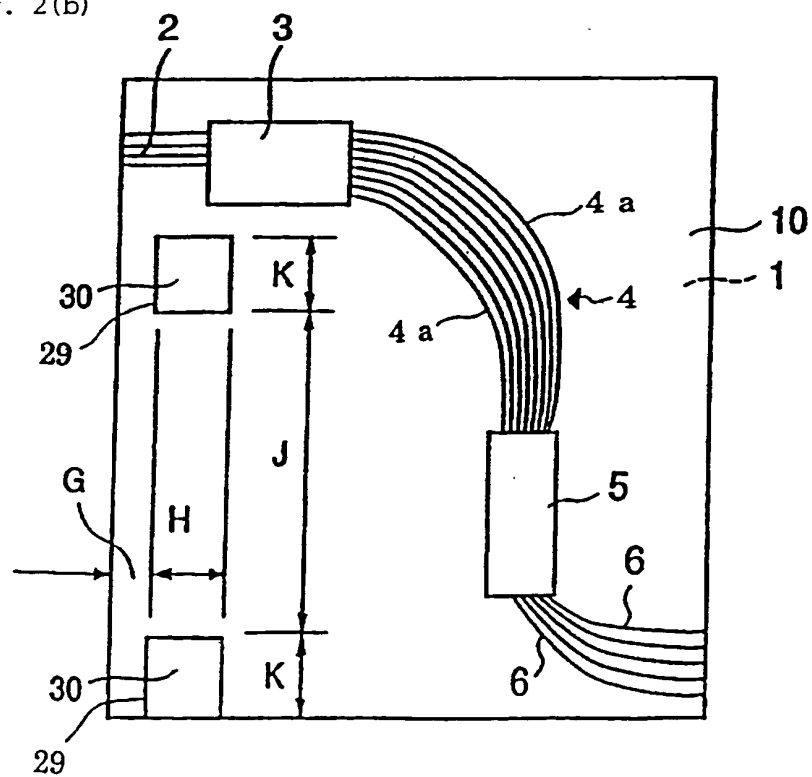


Fig. 3(a)

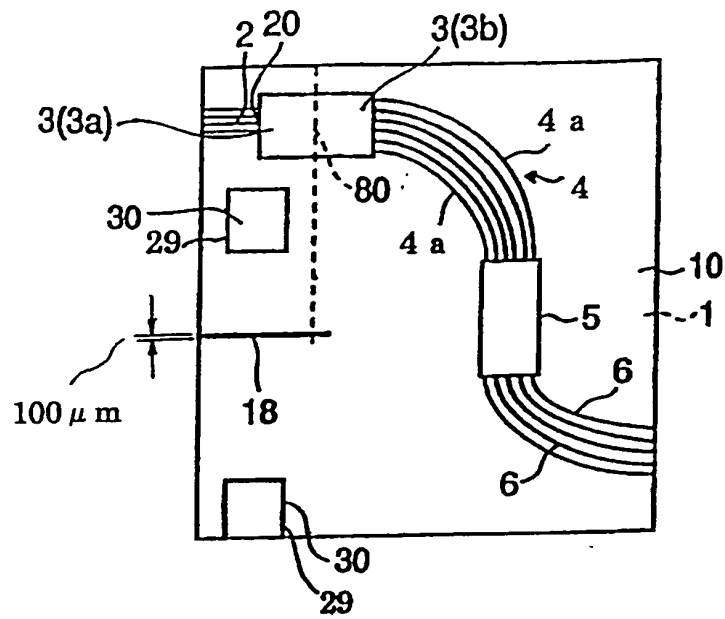


Fig. 3(b)

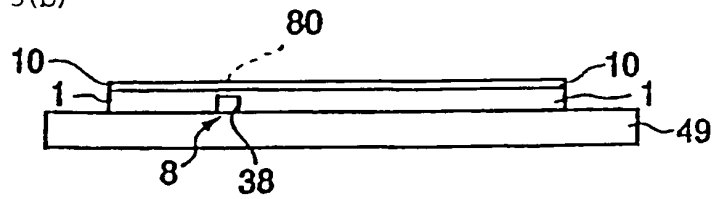


Fig. 4(a)

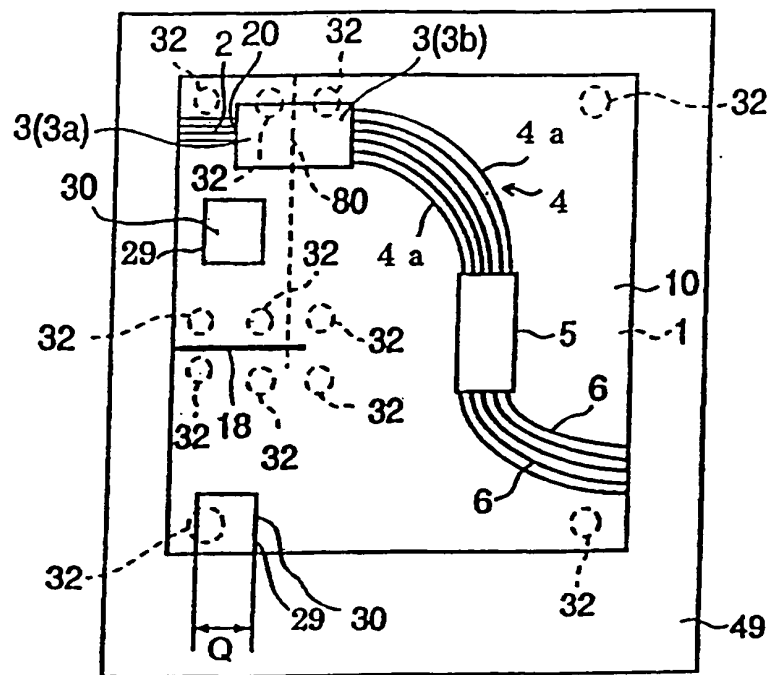


Fig. 4(b)

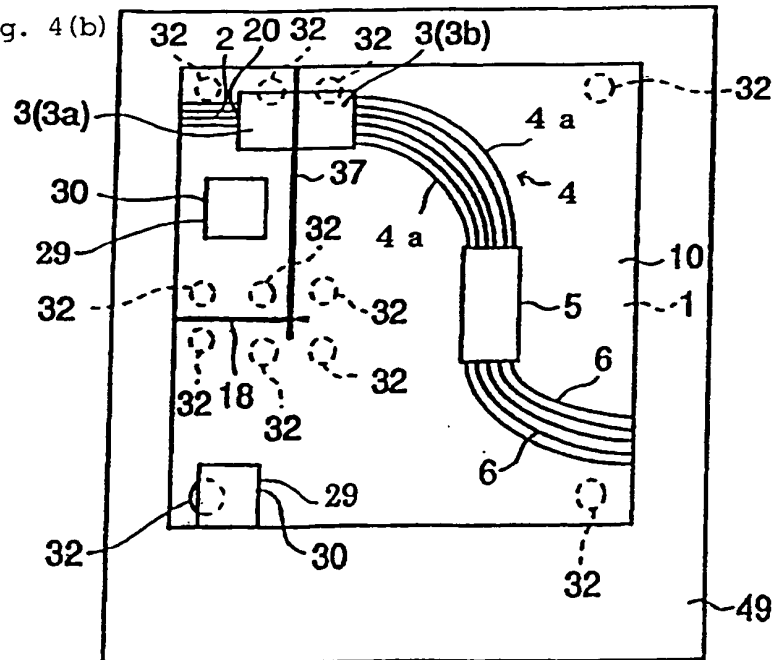


Fig. 4(c)

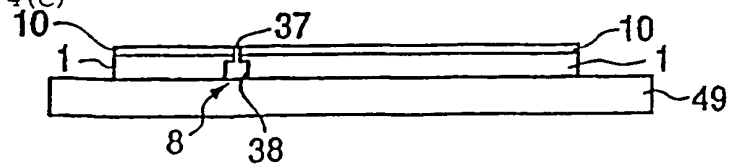


Fig. 6(a)

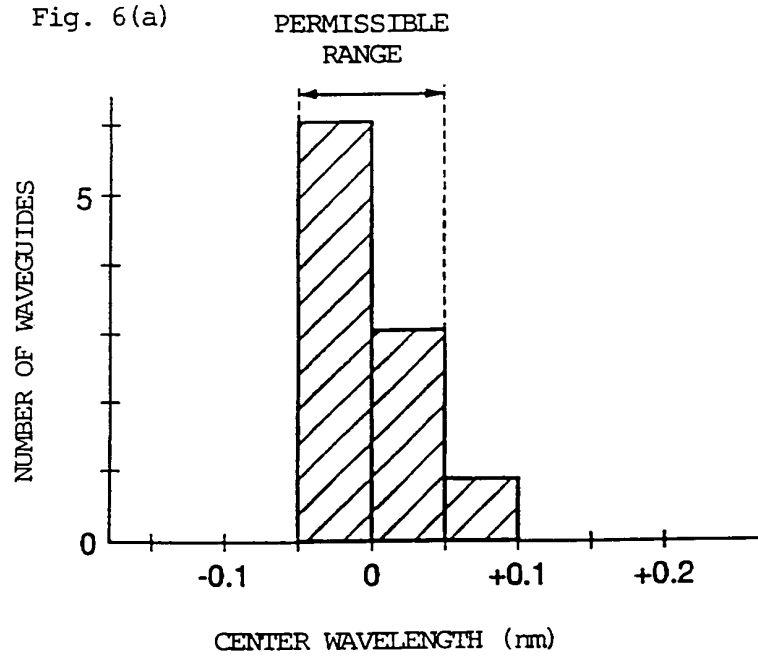


Fig. 6(b)

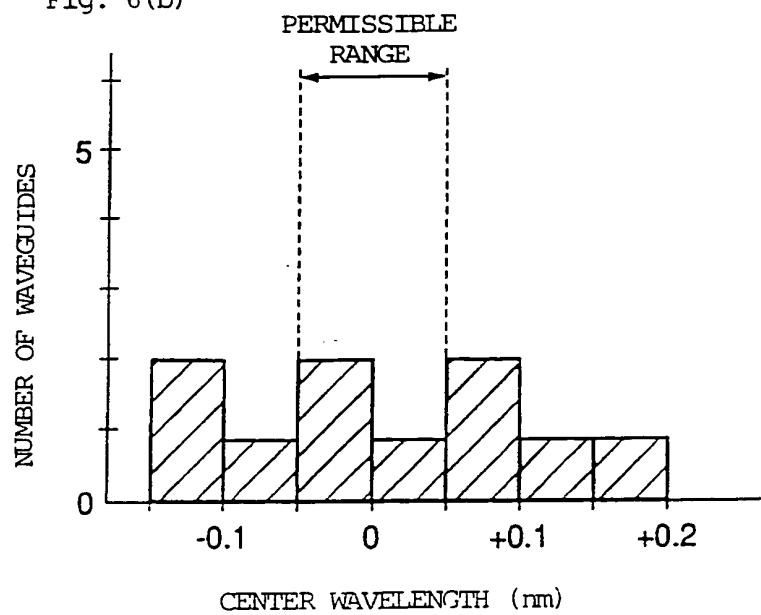


Fig. 7

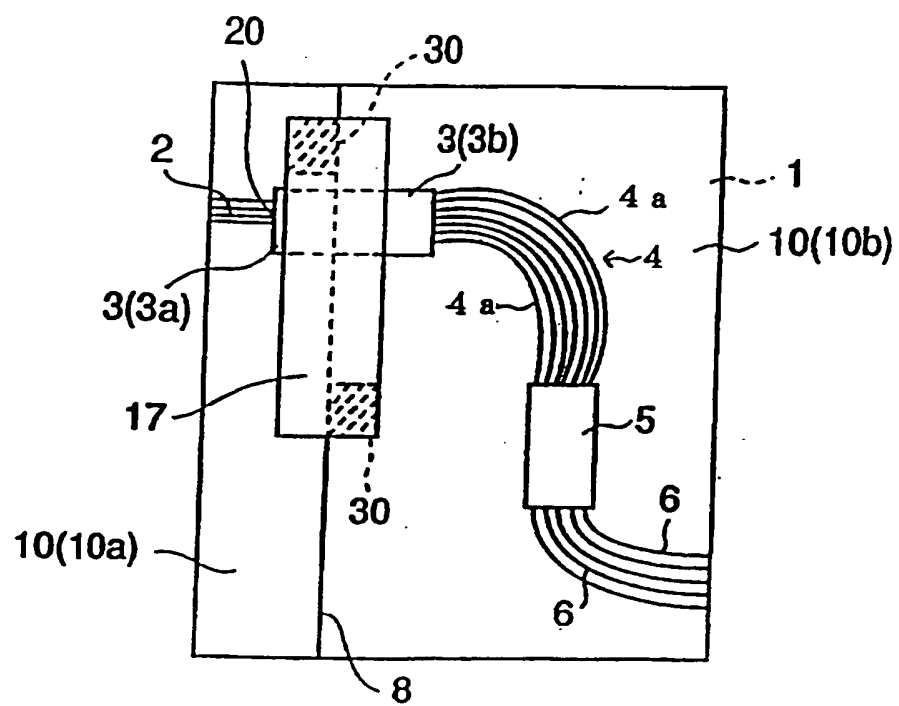


Fig. 8(a)

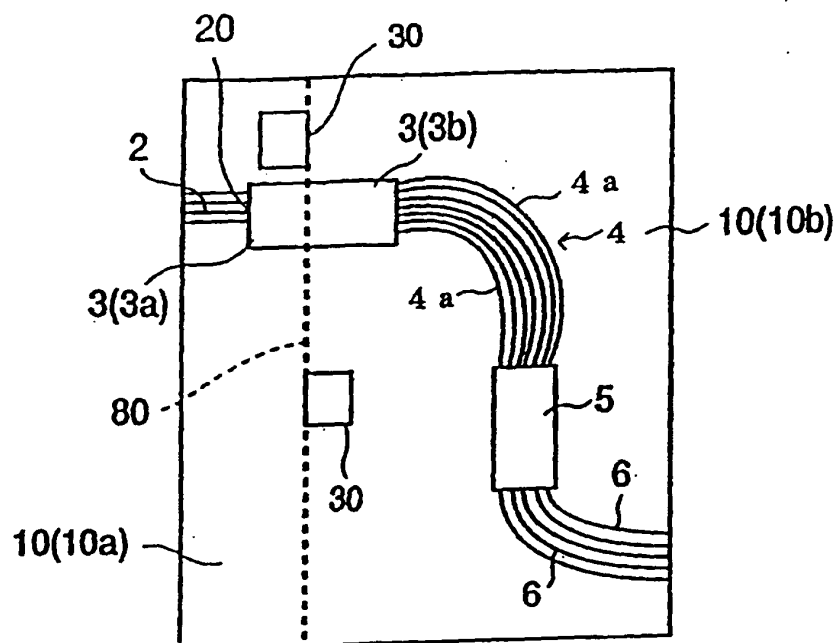


Fig. 8(b)

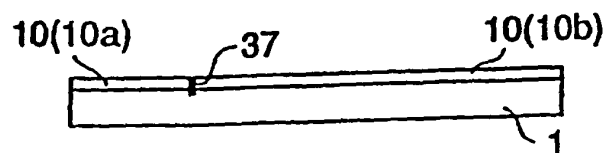


Fig. 8(c)

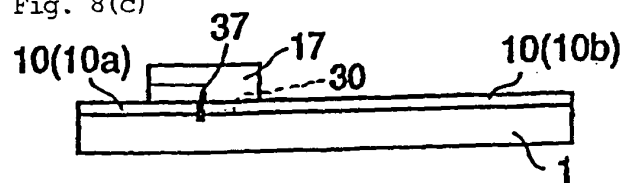


Fig. 8(d)

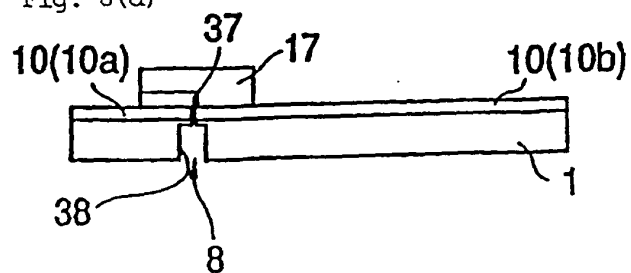


Fig. 9

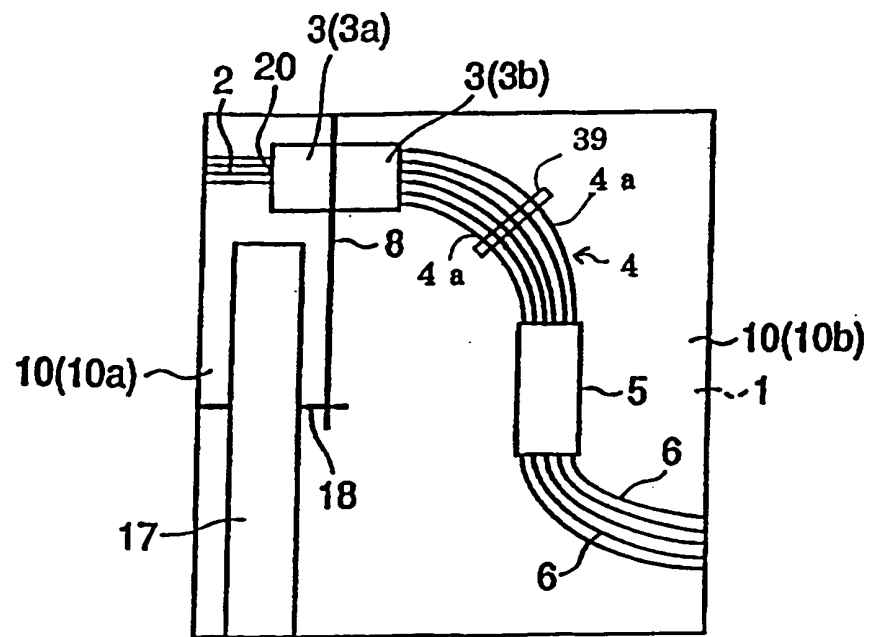


Fig. 10(a)

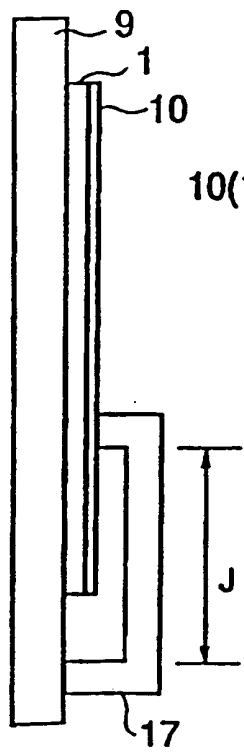


Fig. 10(b)

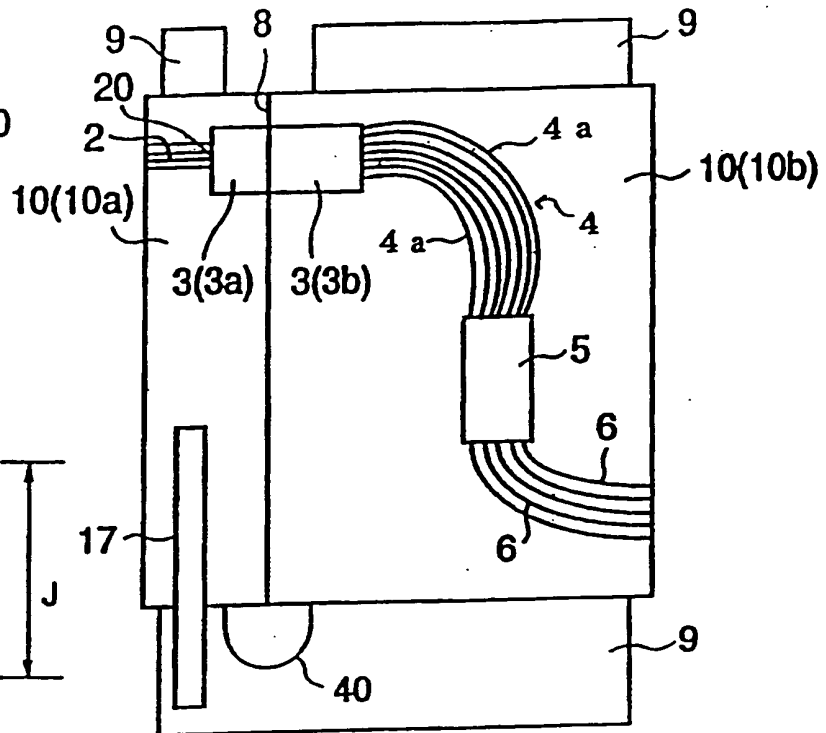


Fig. 11(a)

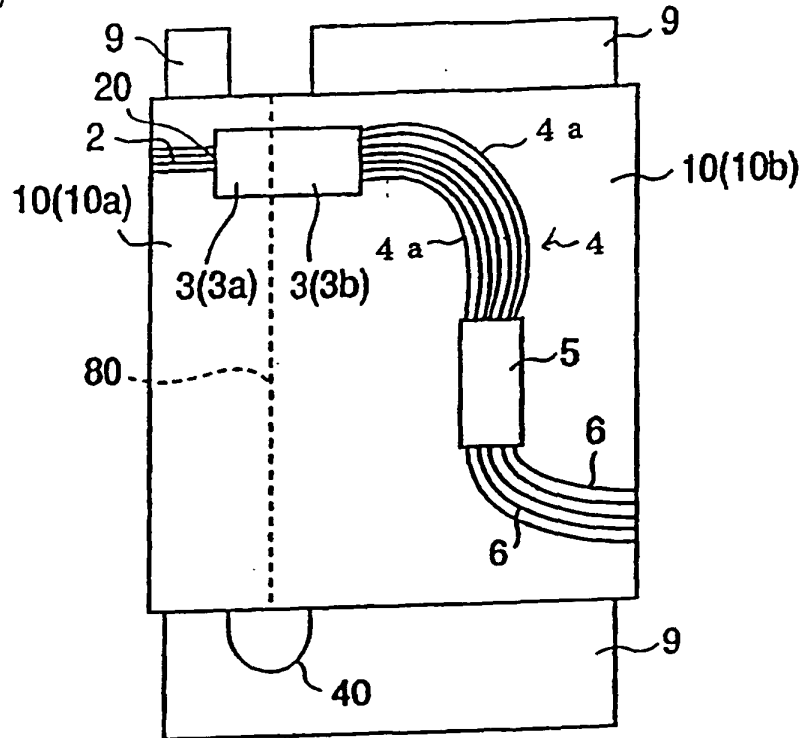


Fig. 11(b)

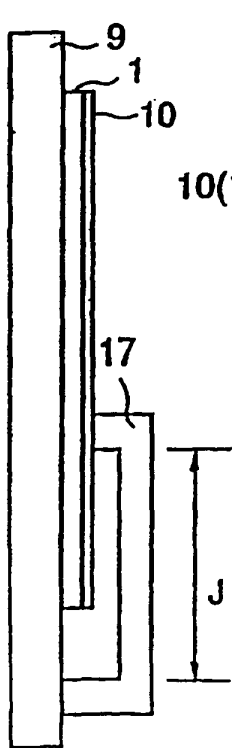


Fig. 11(c)

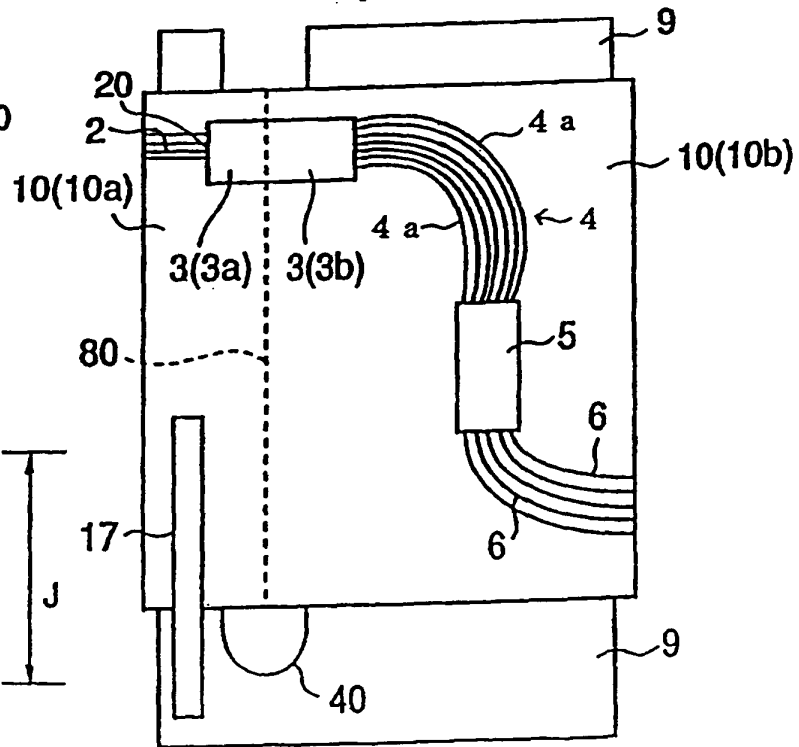


Fig. 12

Background Art

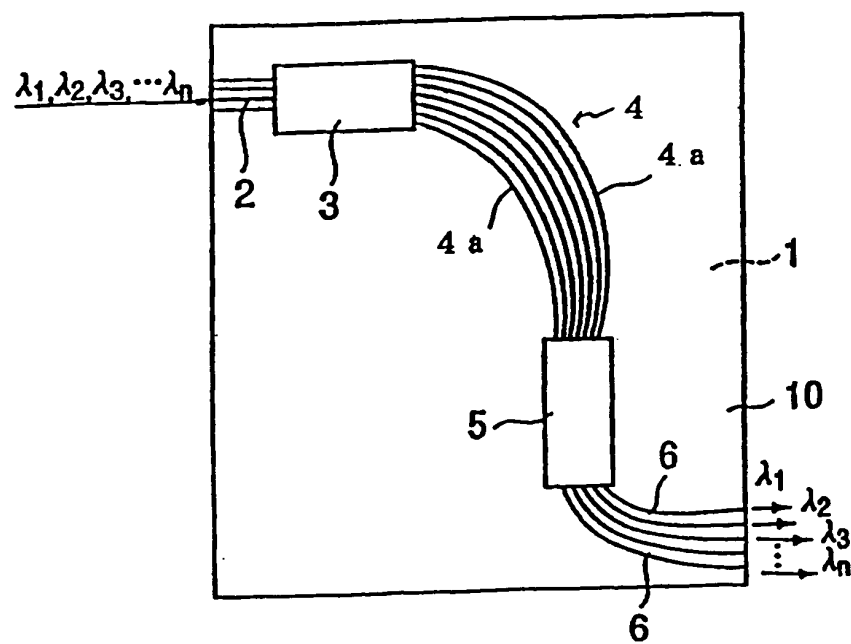


Fig. 13

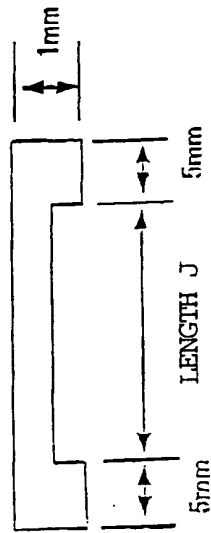


Fig. 14

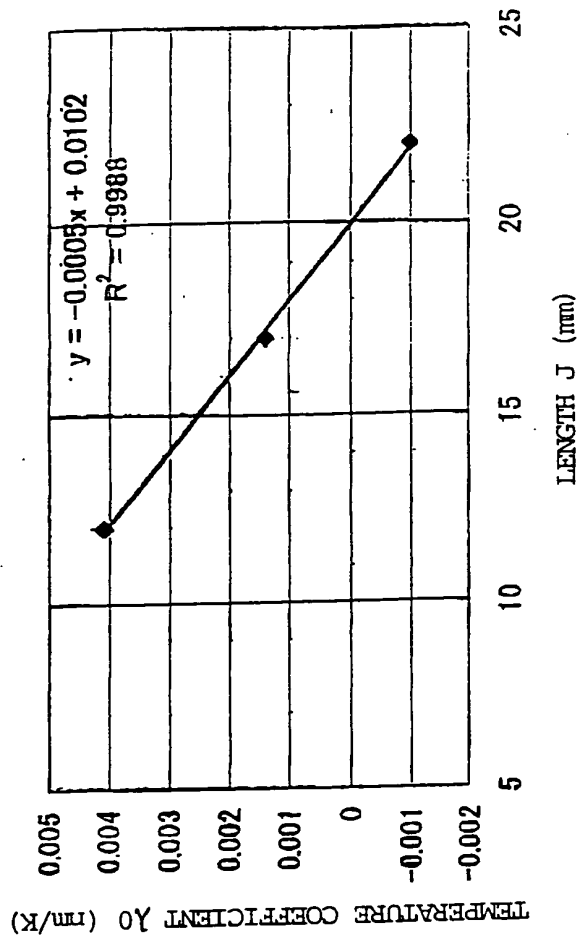


Fig. 15

	TEMPERATURE	SHIFT AMOUNT OF CENTER WAVELENGTH
1	50.5	0.3077
2	45.0	0.2584
3	82.1	0.6683
4	78.3	0.6339
5	32.6	0.1010
6	58.8	0.4112
7	65.0	0.4501
8	62.2	0.4376
9	77.3	0.5939
10	41.2	0.1824

Fig. 16

